arXiv:solv-int/9911008v2 24 Nov 1999

Multidimensional analogs of geometric $s \leftrightarrow t$ duality

I.G. Korepanov*

Abstract

The usual propetry of $s \leftrightarrow t$ duality for scattering amplitudes, e.g. for Veneziano amplitude, is deeply connected with the 2-dimensional geometry. In particular, a simple geometric construction of such amplitudes was proposed in a joint work by this author and S. Saito (solv-int/9812016). Here we propose analogs of one of those amplitudes associated with multidimensional euclidean spaces, paying most attention to the 3-dimensional case. Our results can be regarded as a variant of "Regge calculus" intimately connected with ideas of the theory of integrable models.

Introduction

Mathematical physics was very successful in investigating two-dimensional (or "1+1-dimensional") systems of most various kinds. The next step must be as deep investigation of 3-dimensional, and then multidimensional systems. The transfer of interest to 3-dimensional systems is observed particularly well in the theory of exactly solvable models, where the research is now focussed on the *tetrahedron equation* — the 3-dimensional analog of the famous Yang – Baxter equation.

A remarkable achievement of that theory was demonstration of the fact that virtually all usual classical solitonic systems arise from a simple wye – delta transformation in electric circuits known since 1899 [1]. This was shown in paper [3], and in [4] one can find a matrix generalization of that construction, including the quantum case, based on the ideas of earlier papers [5, 6].

A domain close to exactly solvable models is studying of scattering amplitudes that satisfy the $s \leftrightarrow t$ duality. Remarkably, here, too, some elementary geometric constructions were found recently that produce such amplitudes [7]. These constructions admit as well wide generalizations related to (almost) arbitrary Lie groups.

Nevertheless, the constructions of [7] appear naturally associated with geometry of *2-dimensional* spaces. Recall by the way that it was from Veneziano amplitude [9] obeying $s \leftrightarrow t$ duality that the string theory started with its 2-dimensional string

---

*South Ural State University, 76 Lenin avenue, Chelyabinsk 454080, Russia. E-Mail: igor@prima.tu-chel.ac.ru

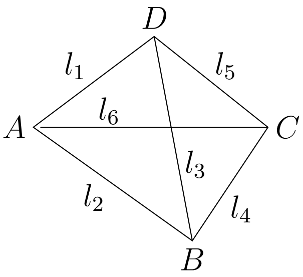

Figure 1:

world sheet. It is clear that search for similar constructions associated with multidimensional spaces in a natural and important problem.

In the present paper a generalization is proposed to one of the amplitudes in [7], namely the amplitude associated with the 2-dimensional euclidean space, to the 3-dimensional case and then to the case of any dimension. We replace triangles from [7] associated with "elementary" amplitudes by tetrahedra or, respectively, higher dimensional simplices, and a composition of several amplitudes is represented as a simplicial complex. The result can be regarded as some version of Regge calculus linked conceptually, due to a generalized $s \leftrightarrow t$ duality, to the theory of integrable models.

Below, in section 1 we re-derive the formula for "2-dimensional" amplitude from [7] in the manner that makes the way to generalizations most clear. Then we compute a composition of amplitudes and study duality transformations on the example of a complex (hexagon) made of four triangles. Section 1 is intended to facilitate, by analogy, understanding of the main section 2 where we are occupied with 3-dimensional and then multidimensional constructions. Finally, section 3 is devoted to a discussion, mostly in the form of a list of questions for further work.

1 Amplitudes related to the 2-dimensional euclidean space

In this section, we will start with re-deriving one of the formulae of [7]. Our calculations, very elementary, will be performed is a manner that makes most obvious the feasibility of generalizations. Note, by the way, that the most obvious seems the possibility to change the group of motions of euclidean plane to other groups, already sketched in the last section of [7]. More fascinating, however, looks the "multidimensional" generalization proposed below in section 2.

1.1 Duality from a euclidean quadrangle

Consider a quadrangle $ABCD$ in a 2-dimensional euclidean space (fig. 1). Let the edge lengths l_1, l_2, l_4 and l_5 be fixed, while the diagonals l_3 and l_6 be able to change. We want to compute the derivative $dl_6/\,dl_3$.

We will do this by "making a road from l_3 to l_6 via l_1". By these words, we mean the use of the implicit function derivative formula

$$\frac{dl_6}{dl_3} = -\frac{\partial l_1/\partial l_3}{\partial l_1/\partial l_6}, \tag{1}$$

where l_1 is regarded as a fuction of all other edge lengths.

To consider the "first half of the road", we will assume for a moment that all the lengths *except* l_3 *and* l_1 are fixed. Then

$$\frac{\partial l_1}{\partial l_3} = \frac{dl_1}{dl_3} = \frac{dl_1}{d\angle ACD} \cdot \frac{d\angle ACD}{d\angle BCD} \cdot \frac{d\angle BCD}{dl_3}. \tag{2}$$

The second factor in the RHS of (2) equals unity, while the first and the third — $2S_{ACD}/l_1$ and $l_3/(2S_{BCD})$ respectively, where $S_{\dots}$ denotes the area of a respective triangle. From here we find

$$\frac{l_1\, dl_1}{S_{ACD}} = \frac{l_3\, dl_3}{S_{BCD}}. \tag{3}$$

Moving similarly further to l_6 and taking (1) into account, we find

$$\frac{l_6\, dl_6}{S_{ABC} \cdot S_{ACD}} = -\frac{l_3\, dl_3}{S_{ABD} \cdot S_{BCD}}. \tag{4}$$

This is, essentially, what we call the duality relation. As explained in [7], putting in correspondence to a triangle of area S and sides k, l, m the amplitude

$$A(k,l,m) = \exp(\lambda S)/S \tag{5}$$

(the exponential factor can be introduced due to the relation

$$S_{ABC} + S_{ACD} = S_{ABD} + S_{BCD},$$

with the same constant λ for all triangles), we get, with a proper choice of integration limits, the duality in the form

$$\int A(k,l,s)\, A(s,m,n)\, d\mu(s) = \int A(k,m,t)\, A(t,l,n)\, d\mu(t), \tag{6}$$

where

$$d\mu(l) = l\, dl. \tag{7}$$

We propose to integrate in formula (6) over *all* possible configurations of a flat euclidean quadrangle, including those nonconvex and with self-intersections, taking as the integrand the *absolute value* of LHS or RHS of (4), i.e. assuming that both the areas of triangles and the integration measures (7) are always positive (note that in [7] another possibility was considered).

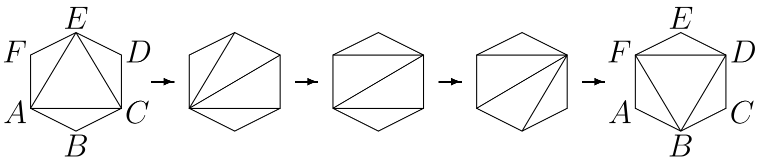

Figure 2:

1.2 An example of a greater complex

Consider an example depicted in fig. 2, where several "moves" of type 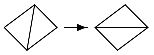 are performed one after another. It is not hard to find the Jacobian for passage from variables l_{AC}, l_{AE}, l_{CE} to l_{BD}, l_{BF}, l_{DF} (where l_{AC} is the length of diagonal AC and so on), using at each step relations of type (4). We will not write out the Jacobian, but only the equality between "state sums" that follows directly from its form:

$$\int \frac{d\mu(l_{AC}) \cdot d\mu(l_{AE}) \cdot d\mu(l_{CE})}{S_{ABC} \cdot S_{AEF} \cdot S_{CDE} \cdot S_{ACE}} = \int \frac{d\mu(l_{BD}) \cdot d\mu(l_{DF}) \cdot d\mu(l_{BF})}{S_{ABF} \cdot S_{BCD} \cdot S_{DEF} \cdot S_{BDF}}, \tag{8}$$

where one can also multiply the integrands by equal factors of the form $\exp(\lambda S_{ABCDEF})$. The integration in (8) can, again, be performed over all flat euclidean hexagon configurations.

In subsection 2.2 we will compare this simple example to a similar example for 3-dimensional space.

2 The case of three and more dimensions

2.1 "Elementary transformation" in 3-dimensional space

The equality (3) that forms the basis of our transformations in 2-dimensional space is based on the fact that 6 distances between four points of a euclidean plane obey one relation. Similarly, 10 distances between *five* points of a 3-dimensional space are bound with one relation (namely, the Cayley – Menger equation, see [2]), and this will allow us to derive here a "3-dimensional" formula analogous to (3).

Let all the distances between points A, B, C, D, E in fig. 3 be fixed, except l_{AE} and l_{BE}. We will derive the dependence between differentials of those latter with the help of dihedral angles: α between the faces ACD and ECD, and β between ECD and BCD. The sum of those angles does not change, because the edge lengths in tetrahedron $ABCD$ are fixed, thus

$$|d\alpha| = |d\beta|\,. \tag{9}$$

To connect dl_{AE} with $d\alpha$, let us draw heights AK and EL of faces ACE and CDE. It seems convenient to picture this by *unrolling* both faces on the picture plane, see fig. 4. In terms of segment lengths in fig. 4 we get

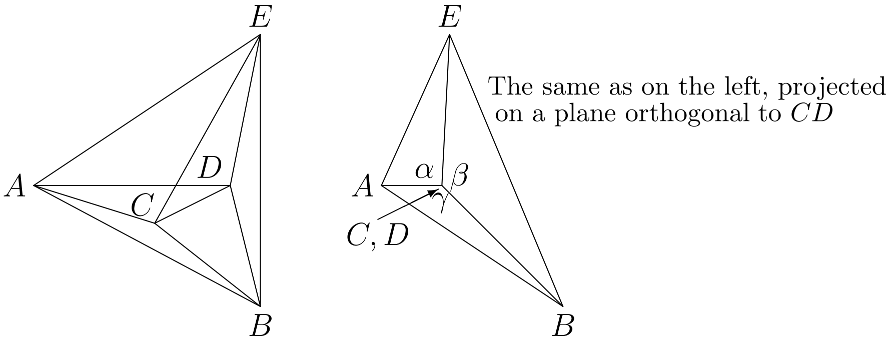

The same as on the left, projected on a plane orthogonal to CD

Figure 3:

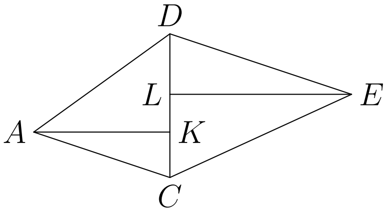

Figure 4:

$$l_{AE}^2 = l_{AK}^2 + l_{EL}^2 - 2 l_{AK} l_{EL} \cos\alpha + l_{KL}^2. \tag{10}$$

As only l_{AE} and α can change,

$$l_{AE}\, dl_{AE} = l_{AK}\, l_{EL} \sin\alpha\, d\alpha.$$

Next, the volume of tetrahedron $ACDE$

$$V_{ACDE} = \frac{1}{6}\, l_{CD}\, l_{AK}\, l_{EL} \sin\alpha,$$

whence

$$\frac{l_{AE}\, dl_{AE}}{V_{ACDE}} = 6 \cdot \frac{d\alpha}{l_{CD}}. \tag{11}$$

Having done similar calculations for tetrahedron $BCDE$ and taking (9) into account, we get the desired analog of formula (3):

$$\left| \frac{l_{AE}\, dl_{AE}}{V_{ACDE}} \right| = \left| \frac{l_{BE}\, dl_{BE}}{V_{BCDE}} \right|, \tag{12}$$

that is

$$\left| \frac{l_{BE}}{l_{AE}} \frac{\partial l_{BE}}{\partial l_{AE}} \right| = \left| \frac{V_{BCDE}}{V_{ACDE}} \right|. \tag{13}$$

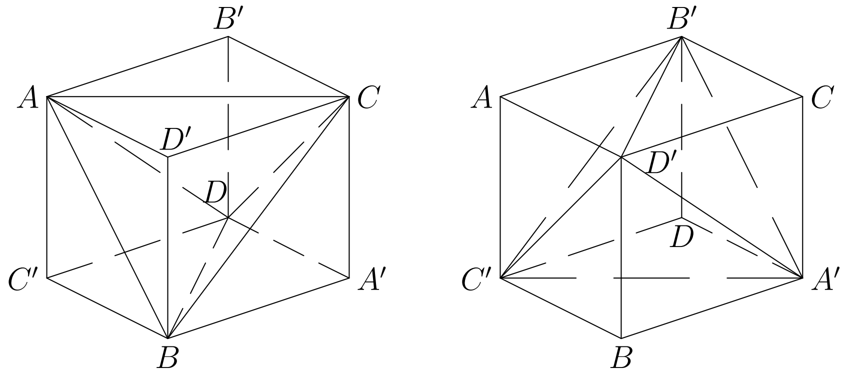

Figure 5:

2.2 Transformations of a complex of five tetrahedra

As an example with more vertices and tetrahedra let us take two decompositions of a cube $C'BA'DAD'CB'$ in 5 tetrahedra depicted in fig. 5. Surely, this figure has a "topological" character — the true edge lengths are not reflected in it and, moreover, "faces" like $AC'BD'$ are not obliged to be flat, and will be in fact regarded as tetrahedra with finite volume in intermediate calculations.

Let us transform the LHS of fig. 5 in its RHS by doing moves of the type described in subsection 2.1, i.e. replacing one of the edges of diagram with another and calculating at the same time the partial derivatives using formula (13). The product of those derivatives will be exactly the Jacobian for passage from 6 cube face diagonal lengths in the LHS to 6 diagonal lengths in the RHS (the lengths of cube edges in LHS and RHS are the same, of course).

Our first move will be the following. Note that in the vertex A' exactly 3 edges intersect, so changing of the length $A'B$ deforms only one (of five pictured in the LHS of fig. 5) tetrahedron, namely $A'BCD$. Take now for five points in subsection 2.1 points A, B, B', C and D, and replace the edge $A'B$ with $A'B'$. After this, the tetrahedron $A'BCD$ will cease to exist, while the tetrahedron $A'B'CD$ will appear (i.e. all its 6 edges will be present on the new diagram). We will not write down the corresponding formulae of type (13), but will write down in full the 12 transformations needed for passing from LHS of fig. 5 to its RHS. Below in the LHS we indicate which edge is replaced with which one, and in the RHS — which tetrahedra disappear and appear:

$$\begin{aligned}
A'B \to A'B'\,, &\qquad A'BCD \to A'B'CD\,;\\
BC' \to B'C'\,, &\qquad ABC'D \to AB'C'D\,;\\
BD' \to B'D'\,, &\qquad ABCD' \to AB'CD'\,;\\
BC \to BC'\,, &\qquad ABCD \to ABC'D\,;\\
CD' \to C'D'\,, &\qquad AB'CD' \to AB'C'D'\,;\\
A'C \to A'C'\,, &\qquad A'B'CD \to A'B'C'D\,;\\
CD \to CD'\,, &\qquad AB'CD \to AB'CD'\,;
\end{aligned}$$

$$
\begin{aligned}
A'D &\to A'D' , & A'B'C'D &\to A'B'C'D' ; \\
BD &\to BD' , & ABC'D &\to ABC'D' ; \\
AD &\to A'D , & AB'C'D &\to A'B'C'D ; \\
AB &\to A'B , & ABC'D' &\to A'BC'D' ; \\
AC &\to A'C , & AB'CD' &\to A'B'CD' .
\end{aligned}
$$

Note that after the first three moves there remain only 3 edges out of 6 intersecting originally in the vertex B — but, in return, 3 new ones arise at the vertex B'. Then the pairs C and C', D and D', A and A' undergo similar changes.

One can check that finally the following formula, an analog of (8), comes out:

$$\int \prod_{\substack{\text{over 5 initial}\\ \text{tetrahedra}}} V^{-1} \prod_{\substack{\text{over 6 initial}\\ \text{diagonals}}} d\mu(l) = \int \prod_{\substack{\text{over 5 final}\\ \text{tetrahedra}}} V^{-1} \prod_{\substack{\text{over 6 final}\\ \text{diagonals}}} d\mu(l). \tag{14}$$

Again, in analogy with section 1, one can integrate in both sides over all possible configurations of euclidean eight-vertex figure with fixed lengths of "nondiagonal" edges, assuming that all V and $d\mu$ are always positive.

2.3 An example with "curvature"

Return now to constructions of subsection 2.1 in order to show that one can introduce there a "discrete curvature concentrated in the edges of the complex", in the spirit of Regge calculus [10] in quantum gravity. Namely, let the "curvature" in fig. 3 be concentrated in edge CD, which shows itself in the fact that the sum of dihedral angles α between faces ACD and ECD, β between ECD and BCD, and γ between BCD and ACD equals not 2π but another fixed value, $2\pi-\omega$. The Cayley – Menger equation for distances between vertices in fig. 3 is replaced by another relation depending on ω. This relation can be derived by adding to (10) two similar equalities expressing l_{BE} through β and l_{AB} through γ, computing the triangle heights (two of the three heights are pictured in "unrolled" form in fig. 4) and segments in which they divide the triangles' base CD in terms of side lengths using usual planimetry, and then excluding α, β and γ that obey

$$\alpha+\beta+\gamma = 2\pi-\omega$$

from the obtained relations. Important is that formula $|d\alpha| = |d\beta|$ (9) and all subsequent calculations in subsection 2.1, including formula (13), remain valid, with the volumes of tetrahedra expressed through edge lengths by the usual formula:

$$
\begin{aligned}
V^2 = \frac{1}{144}&(a_1a_5(a_2+a_3+a_4+a_6-a_1-a_5)+a_2a_6(a_1+a_3+a_4+a_5-a_2-a_6)\\
&+a_3a_4(a_1+a_2+a_5+a_6-a_3-a_4)-a_1a_2a_4-a_2a_3a_5-a_1a_3a_6-a_4a_5a_6),
\end{aligned}
$$

where if e.g. $V=V_{ACDE}$ is the volume of tetrahedron $ACDE$, then

$$a_1=l_{AE}^2,\quad a_2=l_{CE}^2,\quad a_3=l_{DE}^2,\quad a_4=l_{AC}^2,\quad a_5=l_{CD}^2,\quad a_6=l_{AD}^2,$$

but the ten lengths enjoy now the relation including the curvature!

2.4 Multidimensional generalizations

In full analogy with the "3-dimensional" formula (11), one can obtain a similar formula for n-dimensional space:

$$\frac{l_{AZ}\,dl_{AZ}}{V_{ACD\ldots Z}} = n(n-1)\,\frac{d\alpha}{S_{\overline{AZ}}}, \tag{15}$$

where $V_{ACD\ldots Z}$ is now the n-dimensional hypervolume of the corresponding simplex (with $n+1$ vertices), l_{AZ} is the length of edge AZ, $S_{\overline{AZ}}$ is the $(n-2)$-dimensional "hyperarea" of the simplex obtained from $ACD\ldots Z$ by moving off the vertices A and Z, and α is the angle between two $(n-1)$-dimensional faces obtained from $ACD\ldots Z$ by moving off points A and Z respectively. From here, of course, analogs of formulae (12) and (13) follow, e.g., the analog for the first of them is

$$\left|\frac{l_{AZ}\,dl_{AZ}}{V_{ACD\ldots Z}}\right| = \left|\frac{l_{BZ}\,dl_{BZ}}{V_{BCD\ldots Z}}\right|. \tag{16}$$

3 Discussion

We have presented in subsection 2.2 only one of the simplest examples of reconstruction of a 3-dimensional simplicial complex, and in subsection 2.3 — only a first indication that the "discrete curvature" understood in the sense of Regge calculus in quantum gravity can be included in our models. Thus the first natural problems for further work are: describe reconstructions leading to state sum equalities of type (14) for more complicated complexes, preferably including edges where nonzero curvature is concentrated. Maybe one should consider formulae like (11) and (15) as defining one more "duality" — between an edge length and an angle.

Another group of questions is about whether there exist "moves" of some other form than presented in this paper that conserve a properly chosen "state sum", say, in two dimensions — moves of type 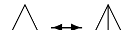 and so on.

The third group of questions is: in this paper, *one* of two 2-dimensional models from [7] is generalized. It is interesting to try and find a multidimensional generalization of the second model (related to Veneziano amplitude) and, more generally, for wider variety of models.

The fourth group of questions, very natural for those working in the theory of exactly solvable models, deals with actual calculation of "state sums". Note that the paper [8] indicates, in particular, at the closeness of the 2-dimensional duality and Yang-Baxter equations.

The fifth group of questions is about models that can be obtained as reductions of models in a higher-dimensional space. As soon as the dimensionality of a space can grow up to infinity, it seems likely that the richness of "low-dimensional" models can, too, increase considerably. Contiguous is the question about including in multidimensional amplitudes an exponential factor like the one in (5).

References

[1] *A.E. Kennelly.* The equivalence of triangles and three-pointed stars in conducting networks. Electrical World and Engineer, **34** (1899), 413–414.

[2] *M. Berger.* Géométrie, issues 1–5. CEDIC/Fernand Nathan, Paris 1977–1978.

[3] *R.M. Kashaev.* On discrete 3-dimensional equations associated with the local Yang–Baxter relation. Preprint ENSLAPP-L-569/95. Lyon: ENS-Lyon, 1995; solv-int/9512005.

[4] *R.M. Kashaev, I.G. Korepanov, S.M. Sergeev.* Functional tetrahedron equation. Theor. Math. Phys. **117**:3, 1402–1413 (1998), also solv-int/9801015.

[5] *I.G. Korepanov.* A dynamical system connected with inhomogeneous 6-vertex model. Zapiski Nauchnyh Seminarov POMI **215**, 178–196 (1994).

[6] *I.G. Korepanov.* Algebraic integrable systems, $2 + 1$-dimensional models in wholly discrete space-time, and inhomogeneous models in 2-dimensional statistical physics, solv-int/9506003, 1995.

[7] *I.G. Korepanov, S. Saito.* Finite-dimensional analogs of string $s \leftrightarrow t$ duality and pentagon equation. Accepted for publication in Theor. Math. Phys. (Russian version: Teor. Mat. Fiz. **20**:1, 54–63 (1999)), also solv-int/9812016.

[8] *I.G. Korepanov.* The tetrahedral analog of Veneziano amplitude, solv-int/9904005, 1999.

[9] *M.B. Green, J.H. Schwarz and E.Witten.* Superstring theory. Vol. 1. Cambridge Univ. Press, 1988.

[10] *C.W. Misner, K.S. Thorn, J.A. Wheeler.* Gravitation. W.H. Freeman and Company. San Francisco 1973.

arXiv:solv-int/9911008v2 24 Nov 1999

Многомерные аналоги геометрической $s \leftrightarrow t$ дуальности

И.Г. Корепанов[*]

Multidimensional analogs of geometric $s \leftrightarrow t$ duality

I.G. Korepanov

Abstract

The usual propetry of $s \leftrightarrow t$ duality for scattering amplitudes, e.g. for Veneziano amplitude, is deeply connected with the 2-dimensional geometry. In particular, a simple geometric construction of such amplitudes was proposed in a joint work by this author and S. Saito (solv-int/9812016). Here we propose analogs of one of those amplitudes associated with multidimensional euclidean spaces, paying most attention to the 3-dimensional case. Our results can be regarded as a variant of "Regge calculus" intimately connected with ideas of the theory of integrable models.

Аннотация

Обычное свойство $s \leftrightarrow t$ дуальности для амплитуд рассеяния, например для амплитуды Венециано, органически связано с двумерной геометрией. В частности, простая геометрическая конструктсия амплитуд такого типа была предложена в совместной работе (solv-int/9812016) автора и С. Сайто. Здесь мы строим аналоги одной из этих амплитуд, связанные с многомерными евклидовыми пространствами, останавливаясь наиболее подробно на трехмерном случае. Результаты можно рассматривать как вариант "исчисления Редже", тесно связанный с идеями теории интегрируемых моделей.

Введение

Математическая физика достигла значительных успехов в исследовании двумерных (или "$1+1$-мерных") систем самых различных видов. Следующим шагом должно стать такое же глубокое изучение трехмерных, а затем и многомерных систем. Перенос интереса на трехмерные системы особенно хорошо виден в теории точно решаемых моделей, где в фокусе

---

[*] E-Mail: igor@prima.tu-chel.ac.ru

исследований сейчас находится *уравнение тетраэдров* — трехмерный аналог знаменитого уравнения Янга – Бакстера.

Замечательным достижением этой теории явилась демонстрация того, что практически все обычные классические солитонные системы возникают из простого преобразования звезда – треугольник в электрических цепях, известного с 1899 года [1]. Это было показано в работе [3], а в [4] можно найти матричное обобщение этой конструкции, в том числе на квантовый случай, основанное на идеях более ранних работ [5, 6].

Родственной точно решаемым моделям областью является изучение амплитуд рассеяния, удовлетворяющих $s \leftrightarrow t$ дуальности. Замечательно, что и здесь недавно были найдены элементарные геометрические конструкции, производящие такие амплитуды [7]. Эти конструкции также допускают широкие обобщения, связанные с (почти) произвольными группами Ли.

Тем не менее, конструкции работы [7] представляются органически связанными с геометрией *двумерных* пространств. Напомним кстати, что именно из амплитуды Венециано [9], удовлетворяющей $s \leftrightarrow t$ дуальности, развилась теория струн с ее двумерным струнным мировым листом. Понятно, что поиск аналогичных конструкций, связанных с многомерными пространствами, является естественной и актуальной задачей.

В настоящей статье предлагается обобщение одной из амплитуд работы [7], а именно связанной с двумерным евклидовым пространством, на трехмерный случай и далее на случаи любой размерности. Треугольники из [7], которым сопоставлялись “элементарные” амплитуды, мы заменяем тетраэдрами или соответственно симплексами высших размерностей, а композиция нескольких амплитуд геометрически изображается некоторым симплициальным комплексом. Результат можно трактовать как некоторый вариант исчисления Редже, идейно связанный, благодаря обобщенной $s \leftrightarrow t$ дуальности, с теорией интегрируемых моделей.

Ниже в разделе 1 мы заново выводим формулу для “двумерной” амплитуды из работы [7] способом, который делает наиболее ясной дорогу к обобщениям. Затем мы вычисляем композицию амплитуд и изучаем преобразования дуальности на примере комплекса (шестиугольника), составленного из четырех треугольников. Раздел 1 призван облегчить, по аналогии, понимание основного раздела 2, в котором мы занимаемся трехмерными и затем многомерными построениями. Наконец, раздел 3 посвящен обсуждению, главным образом в форме списка вопросов для дальнейшей работы.

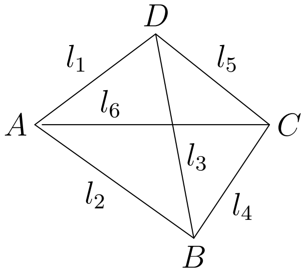

Рис. 1:

1 Амплитуды, связанные с двумерным евклидовым пространством

В этом разделе мы сначала выведем одну из формул работы [7]. Наши весьма элементарные выкладки будут проведены так, чтобы стала как можно более ясной возможность их обобщений. Заметим сразу, что наиболее очевидной представляется возможность замены группы движений евклидовой плоскости на другие группы, уже намеченная в заключительном разделе работы [7]. Более захватывающим, однако, представляется “многомерное” обобщение, предлагаемое ниже в разделе 2.

1.1 Дуальность из евклидова четырехугольника

Рассмотрим четырехугольник $ABCD$ в двумерном евклидовом пространстве (рис. 1). Пусть длины сторон l_1, l_2, l_4 и l_5 фиксированы, а диагонали l_3 и l_6 могут меняться. Нас интересует производная $dl_6/\,dl_3$.

Эту производную мы будем вычислять, “проложив дорогу от l_3 к l_6 через l_1”. Под этим мы понимаем использование формулы производной неявной функции

$$\frac{dl_6}{dl_3} = -\frac{\partial l_1/\partial l_3}{\partial l_1/\partial l_6}, \tag{1}$$

в которой l_1 рассматривается как функция длин всех остальных отрезков.

Чтобы рассмотреть “первую половину пути”, будем теперь считать, что фиксированы длины всех отрезков, *кроме* l_3 *и* l_1. Тогда

$$\frac{\partial l_1}{\partial l_3} = \frac{dl_1}{dl_3} = \frac{dl_1}{d\angle ACD} \cdot \frac{d\angle ACD}{d\angle BCD} \cdot \frac{d\angle BCD}{dl_3}. \tag{2}$$

Второй сомножитель в правой части (2) равен единице, а первый и третий — соответственно $2S_{ACD}/l_1$ и $l_3/(2S_{BCD})$, где $S_{\ldots}$ обозначает площадь соответствующего треугольника. Отсюда находим

$$\frac{l_1\,dl_1}{S_{ACD}} = \frac{l_3\,dl_3}{S_{BCD}}. \tag{3}$$

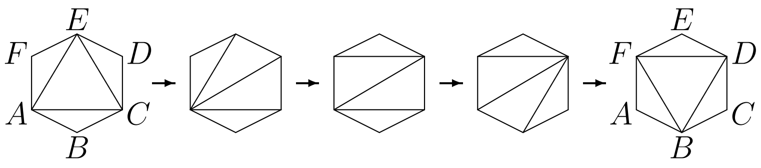

Рис. 2:

Двигаясь аналогично дальше к l_6 и учитывая (1), находим

$$\frac{l_6\, dl_6}{S_{ABC} \cdot S_{ACD}} = -\frac{l_3\, dl_3}{S_{ABD} \cdot S_{BCD}}. \tag{4}$$

Это и есть, по существу, соотношение дуальности. Как объяснено в работе [7], сопоставляя каждому треугольнику площади S со сторонами k, l, m амплитуду

$$A(k, l, m) = \exp(\lambda S)/S \tag{5}$$

(введение экспоненциального множителя возможно благодаря равенству

$$S_{ABC} + S_{ACD} = S_{ABD} + S_{BCD},$$

а постоянная λ одинакова для всех треугольников), получаем при подходящем выборе пределов интегрирования дуальность в форме

$$\int A(k, l, s)\, A(s, m, n)\, d\mu(s) = \int A(k, m, t)\, A(t, l, n)\, d\mu(t), \tag{6}$$

где

$$d\mu(l) = l\, dl. \tag{7}$$

Интегрировать в формуле (6) предлагается по *всем* возможным конфигурациям плоского евклидова четырехугольника, в том числе невыпуклым и с самопересечениями, беря в качестве подынтегрального выражения *модуль* левой или правой частей (4), т.е. принимая, что как площади треугольников, так и меры интегрирования (7) всегда положительны (заметим, что в работе [7] рассматривалась другая возможность).

1.2 Пример более сложного комплекса

Рассмотрим пример, изображенный на рис. 2, в котором несколько "шагов" типа 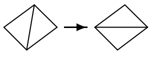 осуществляются по очереди. Нетрудно найти якобиан перехода от переменных l_{AC}, l_{AE}, l_{CE} к переменным l_{BD}, l_{BF}, l_{DF} (где l_{AC} — длина диагонали AC и т.д.), пользуясь на каждом шаге соотношениями типа (4). Не будем выписывать якобиан, а приведем вытекающее непосредственно из его вида равенство между "статсуммами":

$$\int \frac{d\mu(l_{AC}) \cdot d\mu(l_{AE}) \cdot d\mu(l_{CE})}{S_{ABC} \cdot S_{AEF} \cdot S_{CDE} \cdot S_{ACE}} = \int \frac{d\mu(l_{BD}) \cdot d\mu(l_{DF}) \cdot d\mu(l_{BF})}{S_{ABF} \cdot S_{BCD} \cdot S_{DEF} \cdot S_{BDF}}, \tag{8}$$

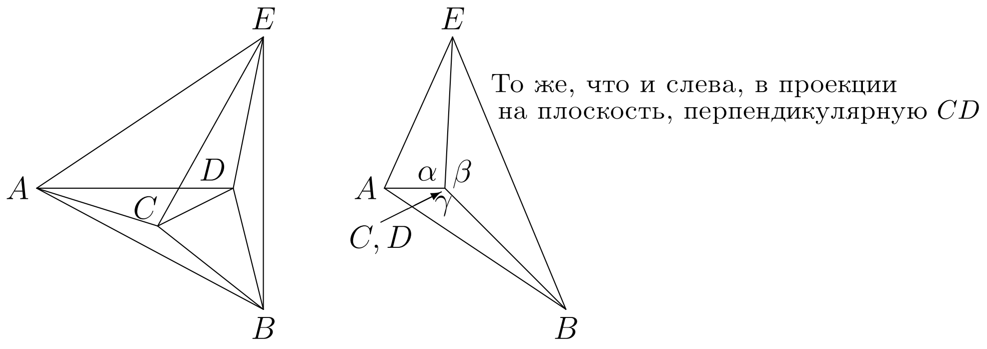
E
A
D
C
B
E
То же, что и слева, в проекции
на плоскость, перпендикулярную CD
A
α
β
γ
C, D
B

Рис. 3:

в котором можно еще добавить под интегралы одинаковые множители типа $\exp(\lambda S_{ABCDEF})$. Интегрирование в (8) снова можно вести по всем конфигурациям щестиугольника в евклидовой плоскости.

В п. 2.2 мы сравним этот простой пример с аналогичным примером для трехмерного пространства.

2 Случаи трех и более измерений

2.1 “Элементарное преобразование” в трехмерном пространстве

Равенство (3), лежащее в основе наших преобразований в двумерном пространстве, опирается на тот факт, что 6 расстояний между четырьмя точками евклидовой плоскости связаны одним соотношением. Аналогично, 10 расстояний между *пятью* точками трехмерного пространства связаны одним соотношением (а именно уравнением Кэли – Менгера, см. [2]), и это сейчас позволит нам вывести “трехмерную” формулу, аналогичную (3).

Пусть все расстояния между точками A, B, C, D, E на рис. 3 фиксированы, кроме l_{AE} и l_{BE}. Зависимость между дифференциалами этих последних мы выведем через посредство двугранного угла α между гранями ACD и ECD и угла β между гранями ECD и BCD. Сумма этих углов не меняется, так как в тетраэдре $ABCD$ длины ребер фиксированы, поэтому

$$|d\alpha| = |d\beta|\,. \tag{9}$$

Чтобы связать dl_{AE} и $d\alpha$, проведем высоты AK и EL граней ACE и CDE, что удобно изобразить, *развернув* обе эти грани на плоскость рисунка, см. рис. 4. В терминах длин отрезков рис. 4 получаем

$$l_{AE}^2 = l_{AK}^2 + l_{EL}^2 - 2 l_{AK} l_{EL} \cos\alpha + l_{KL}^2. \tag{10}$$

Так как меняться могут только l_{AE} и α,

$$l_{AE}\, dl_{AE} = l_{AK}\, l_{EL} \sin\alpha\, d\alpha.$$

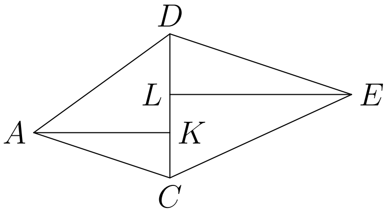

Рис. 4:

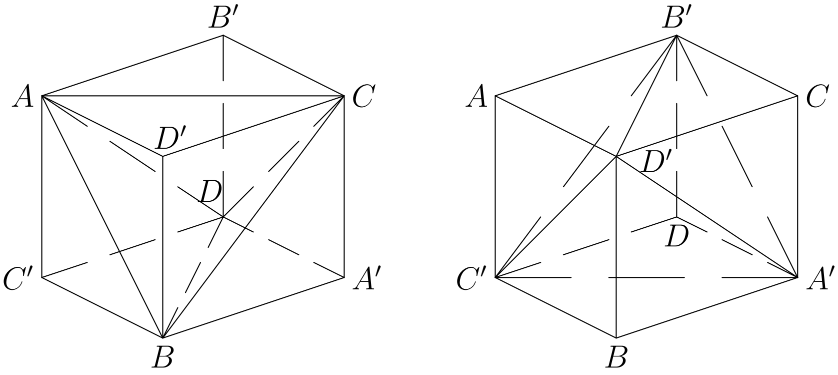

Рис. 5:

Далее, объем тетраэдра $ACDE$

$$V_{ACDE} = \frac{1}{6}\, l_{CD}\, l_{AK}\, l_{EL} \sin\alpha,$$

откуда

$$\frac{l_{AE}\, dl_{AE}}{V_{ACDE}} = 6 \cdot \frac{d\alpha}{l_{CD}}. \qquad (11)$$

Проделав аналогичные выкладки для тетраэдра $BCDE$ и учтя (9), получим искомый аналог формулы (3):

$$\left|\frac{l_{AE}\, dl_{AE}}{V_{ACDE}}\right| = \left|\frac{l_{BE}\, dl_{BE}}{V_{BCDE}}\right|, \qquad (12)$$

то есть

$$\left|\frac{l_{BE}}{l_{AE}} \frac{\partial l_{BE}}{\partial l_{AE}}\right| = \left|\frac{V_{BCDE}}{V_{ACDE}}\right|. \qquad (13)$$

2.2 Преобразования комплекса из пяти тетраэдров

В качестве примера с большим числом вершин и тетраэдров два разбиения куба $C'BA'DAD'CB'$ на 5 тетраэдров, изображенные на рис. 5. Конечно, этот рисунок носит “топологический” характер — истинные длины ребер на нем не отражены и, более того, “грани” типа $AC'BD'$ не обязаны быть плоскими и будут сами рассматриваться в промежуточных вычислениях как тетраэдры конечного объема.

Будем преобразовывать левую часть рис. 5 в правую, делая шаги типа описанного в п. 2.1, т.е. заменяя одно из ребер диаграммы на другое и вычисляя при этом по формуле (13) частные производные, произведение которых и даст якобиан перехода от шести длин диагоналей граней куба в левой части к шести длинам диагоналей в правой (длины ребер куба в левой и правой частях, конечно, одинаковы).

Наш первый шаг будет следующим. Заметим, что в вершине A' сходятся ровно три ребра, и поэтому изменение длины $A'B$ деформирует только один (из пяти изображенных в левой части рис. 5) тетраэдр, а именно $A'BCD$. Возьмем теперь в качестве пяти точек из п. 2.1 точки A, B, B', C и D, и заменим ребро $A'B$ на $A'B'$. При этом тетраэдр $A'BCD$ перестанет существовать, зато появится тетраэдр $A'B'CD$ (т.е. все его 6 ребер присутствуют на возникающей диаграмме). Не будем выписывать соответствующие формулы типа (13), но выпишем полностью 12 преобразований, нужных для перехода от левой части рис. 5 к правой. Слева мы указываем, какое ребро заменяется на какое другое, а справа — какой тетраэдр исчезает и какой появляется:

$$\begin{aligned}
A'B \to A'B'\,, &\qquad A'BCD \to A'B'CD\,;\\
BC' \to B'C'\,, &\qquad ABC'D \to AB'C'D\,;\\
BD' \to B'D'\,, &\qquad ABCD' \to AB'CD'\,;\\[4pt]
BC \to BC'\,, &\qquad ABCD \to ABC'D\,;\\
CD' \to C'D'\,, &\qquad AB'CD' \to AB'C'D'\,;\\
A'C \to A'C'\,, &\qquad A'B'CD \to A'B'C'D\,;\\[4pt]
CD \to CD'\,, &\qquad AB'CD \to AB'CD'\,;\\
A'D \to A'D'\,, &\qquad A'B'C'D \to A'B'C'D'\,;\\
BD \to BD'\,, &\qquad ABC'D \to ABC'D'\,;\\[4pt]
AD \to A'D\,, &\qquad AB'C'D \to A'B'C'D\,;\\
AB \to A'B\,, &\qquad ABC'D' \to A'BC'D'\,;\\
AC \to A'C\,, &\qquad AB'CD' \to A'B'CD'\,.
\end{aligned}$$

Заметим, что после первых трех шагов от шести ребер, пересекавшихся вначале в вершине B, остаются три, — зато появляются три новых у вершины B'. Далее аналогичные изменения происходят с парами вершин C и C', D и D', A и A'.

Можно убедиться, что в итоге получается следующая формула — аналог формулы (8):

$$\int \prod_{\substack{\text{по 5 исходным}\\ \text{тетраэдрам}}} V^{-1} \prod_{\substack{\text{по 6 исходным}\\ \text{диагоналям}}} d\mu(l) = \int \prod_{\substack{\text{по 5 новым}\\ \text{тетраэдрам}}} V^{-1} \prod_{\substack{\text{по 6 новым}\\ \text{диагоналям}}} d\mu(l). \tag{14}$$

Интегрировать можно, по аналогии с разделом 1, в обеих частях по всем допустимым конфигурациям евклидовых восьмивершинников при фиксированных длинах “недиагональных” ребер, считая все V и $d\mu$ всегда положительными.

2.3 Пример с “кривизной”

Вернемся теперь к построениям п. 2.1, чтобы показать, что в них возможно введение “дискретной кривизны, сосредоточенной в ребрах комплекса”, в духе исчисления Редже [10] в квантовой гравитации. Именно, пусть “кривизна” на рис. 3 сосредоточена в ребре CD, что выражается в том, что сумма двугранных углов α между гранями ACD и ECD, β между ECD и BCD и γ между BCD и ACD равна не 2π, а другому фиксированному числу $2\pi-\omega$. Уравнение Кэли – Менгера для расстояний между вершинами на рис. 3 заменяется на другое соотношение, зависящее от ω. Это соотношение можно получить, добавив к (10) два аналогичных равенства, выражающих l_{BE} через β и l_{AB} через γ, вычислив высоты треугольников (две из трех высот изображены на “развертке” на рис. 4) и отрезки, на которые они делят основание треугольников CD, через длины сторон с помощью обычной планиметрии, и затем исключив из получившихся соотношений α, β и γ, связанные равенством

$$\alpha+\beta+\gamma=2\pi-\omega.$$

Для нас важно то, что формула $|d\alpha|=|d\beta|$ (9) и все последующие выкладки п. 2.1, включая формулу (13), сохраняют силу, причем и объемы тетраэдров вычисляются через длины сторон по обычной формуле:

$$\begin{aligned}V^2=\frac{1}{144}&(a_1a_5(a_2+a_3+a_4+a_6-a_1-a_5)+a_2a_6(a_1+a_3+a_4+a_5-a_2-a_6)\\&+a_3a_4(a_1+a_2+a_5+a_6-a_3-a_4)-a_1a_2a_4-a_2a_3a_5-a_1a_3a_6-a_4a_5a_6),\end{aligned}$$

где если $V=V_{ACDE}$ — объем тетраэдра $ACDE$, то

$$a_1=l_{AE}^2,\quad a_2=l_{CE}^2,\quad a_3=l_{DE}^2,\quad a_4=l_{AC}^2,\quad a_5=l_{CD}^2,\quad a_6=l_{AD}^2,$$

но сами десять длин связаны теперь соотношениями, учитывающими кривизну!

2.4 Многомерные обобщения

В полной аналогии с “трехмерной” формулой (11) нетрудно получить аналогичную формулу для n-мерного пространства:

$$\frac{l_{AZ}\,dl_{AZ}}{V_{ACD\ldots Z}}=n(n-1)\,\frac{d\alpha}{S_{\overline{AZ}}},\tag{15}$$

где теперь $V_{ACD\ldots Z}$ — n-мерный гиперобъем симплекса (с $n+1$ вершинами), l_{AZ} — длина ребра AZ, $S_{\overline{AZ}}$ — $(n-2)$-мерная “гиперплощадь” симплекса, получаемого из $ACD\ldots Z$ удалением вершин A и Z, а α — угол между двумя $(n-1)$-мерными гипергранями, получаемыми из $ACD\ldots Z$ удалением точек A и Z соответственно. Отсюда, конечно, следуют аналоги формул (12) и (13), скажем, аналогом первой из них будет

$$\left|\frac{l_{AZ}\,dl_{AZ}}{V_{ACD\ldots Z}}\right| = \left|\frac{l_{BZ}\,dl_{BZ}}{V_{BCD\ldots Z}}\right|. \tag{16}$$

3 Обсуждение

Мы привели в п. 2.2 только один из простейших примеров перестройки трехмерного симплициального комплекса, а в п. 2.3 — только первоначальное указание на то, что “дискретная кривизна”, понимаемая в смысле исчисления Редже в квантовой гравитации, может быть включена в наши модели. Поэтому первые естественные задачи для дальнейшей работы таковы: описать перестройки, приводящие к равенствам статсумм типа (14), для более сложных комплексов, желательно содержащих ребра, в которых сосредоточена ненулевая кривизна. Возможно, следует рассмотреть формулы типа (11) и (15) как определяющие еще одну “дуальность” — между длиной ребра и углом.

Другой круг вопросов связан с тем, имеются ли “шаги” какого-либо иного, чем описано в статье, вида, сохраняющие подходящим образом определенную “статсумму”, скажем, в двумерии — шаги типа 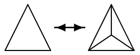 и т.д.

Третий круг вопросов таков: в этой статье обобщается *одна* из двух двумерных моделей работы [7]. Интересно попробовать найти многомерное обобщение второй модели (связанной с амплитудой Венециано) и вообще более широкого круга моделей.

Четвертый круг вопросов, естественный для работающих в теории точно решаемых моделей, — о методах вычисления “статсумм”. Заметим, что работа [8] указывает, в частности, на родство уравнений двумерной дуальности и Янга – Бакстера.

Пятый круг вопросов — о моделях, которые можно получить редукциями моделей в пространстве большей размерности. Коль скоро размерность пространства может возрастать до бесконечности, похоже, что и богатство “маломерных” моделей тоже может сильно возрасти. Сюда примыкает также вопрос о включении экспоненциального множителя такого же типа, как в уравнении (5), в многомерные амплитуды.

Литература

[1] A.E. Kennelly. The equivalence of triangles and three-pointed stars in conducting networks. Electrical World and Engineer, **34** (1899), 413–414.

[2] М. Берже. Геометрия, т. 1, 2. М.: Мир, 1984

[3] R.M. Kashaev. On discrete 3-dimensional equations associated with the local Yang–Baxter relation. Preprint ENSLAPP-L-569/95. Lyon: ENS-Lyon, 1995; solv-int/9512005.

[4] Р.М. Кашаев, И.Г. Корепанов, С.М. Сергеев. Функциональное уравнение тетраэдров. Теор. Мат. Физ. Том 117, вып. 3, 370–384 (1998).

[5] I.G. Korepanov. A dynamical system connected with inhomogeneous 6-vertex model. Зап. науч. семин. ПОМИ. Том 215, 178–196 (1994).

[6] I.G. Korepanov. Algebraic integrable systems, 2 + 1-dimensional models in wholly discrete space-time, and inhomogeneous models in 2-dimensional statistical physics, solv-int/9506003, 1995.

[7] И.Г. Корепанов, С. Сайто. Конечномерные аналоги струнной $s \leftrightarrow t$ дуальности и уравнение пентагона, Теор. Мат. Физ., том 20, вып. 1, с. 54–63 (1999).

[8] I.G. Korepanov. The tetrahedral analog of Veneziano amplitude, solv-int/9904005, 1999.

[9] М. Грин, Дж. Шварц, Э. Виттен. Теория суперструн. Том 1. М.: Мир, 1990.

[10] Ч. Мизнер, К. Торн, Дж. Уилер. Гравитация. Том 3. М.: Мир, 1977.